



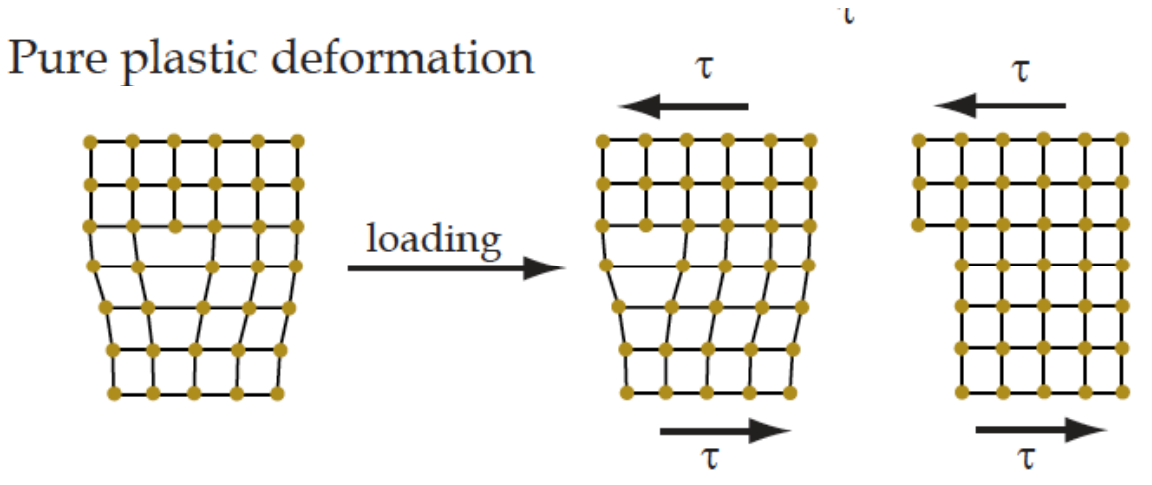




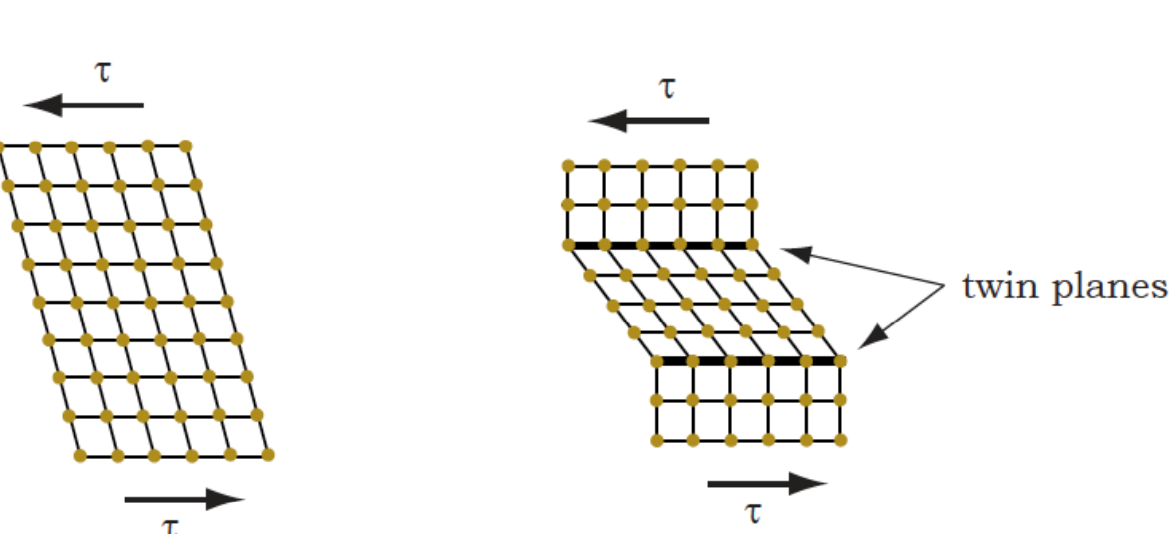


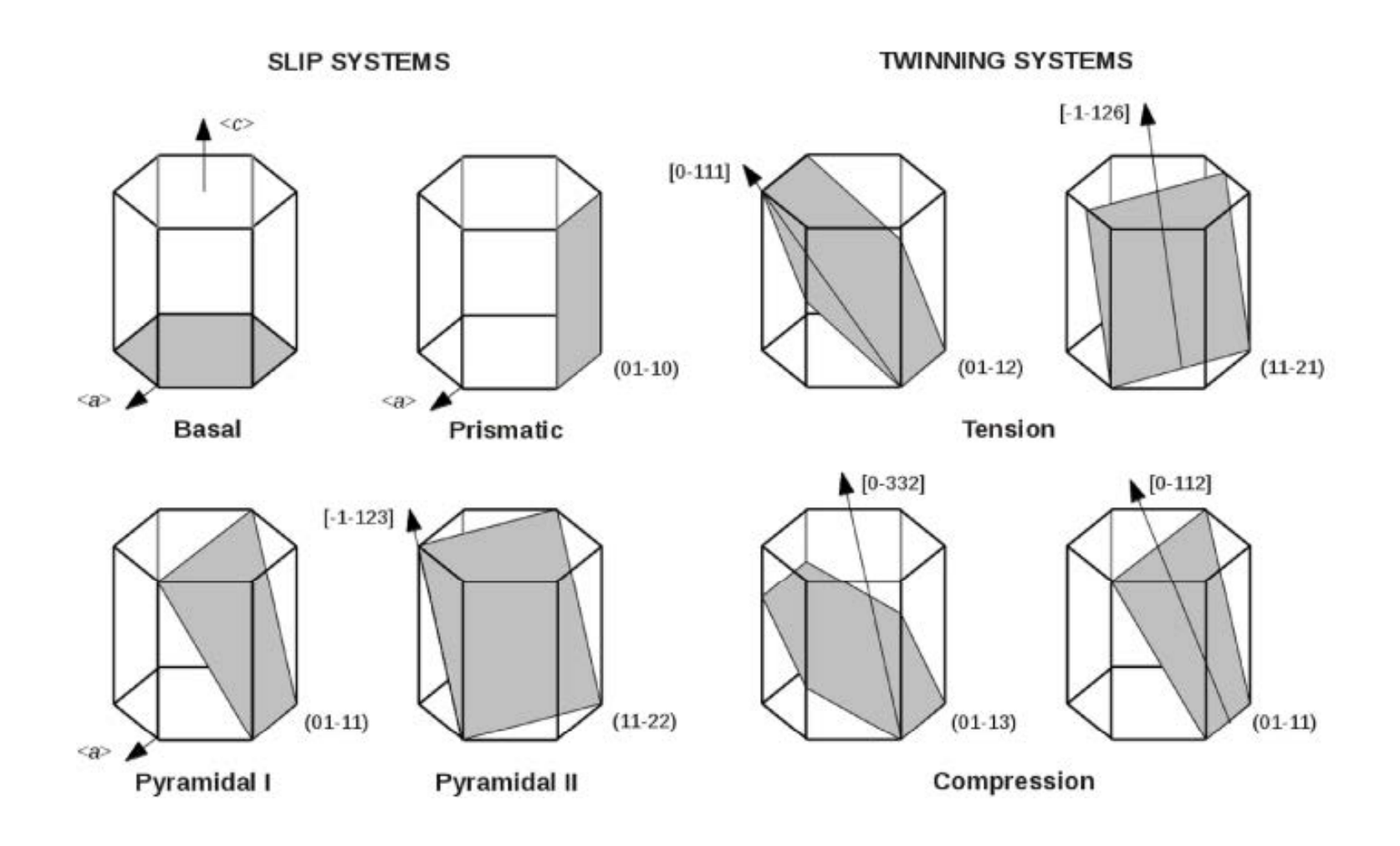
50 Aniversario de la Revista de Metalurgia, CENIM 2015

Deslizamiento de dislocaciones



Maclado

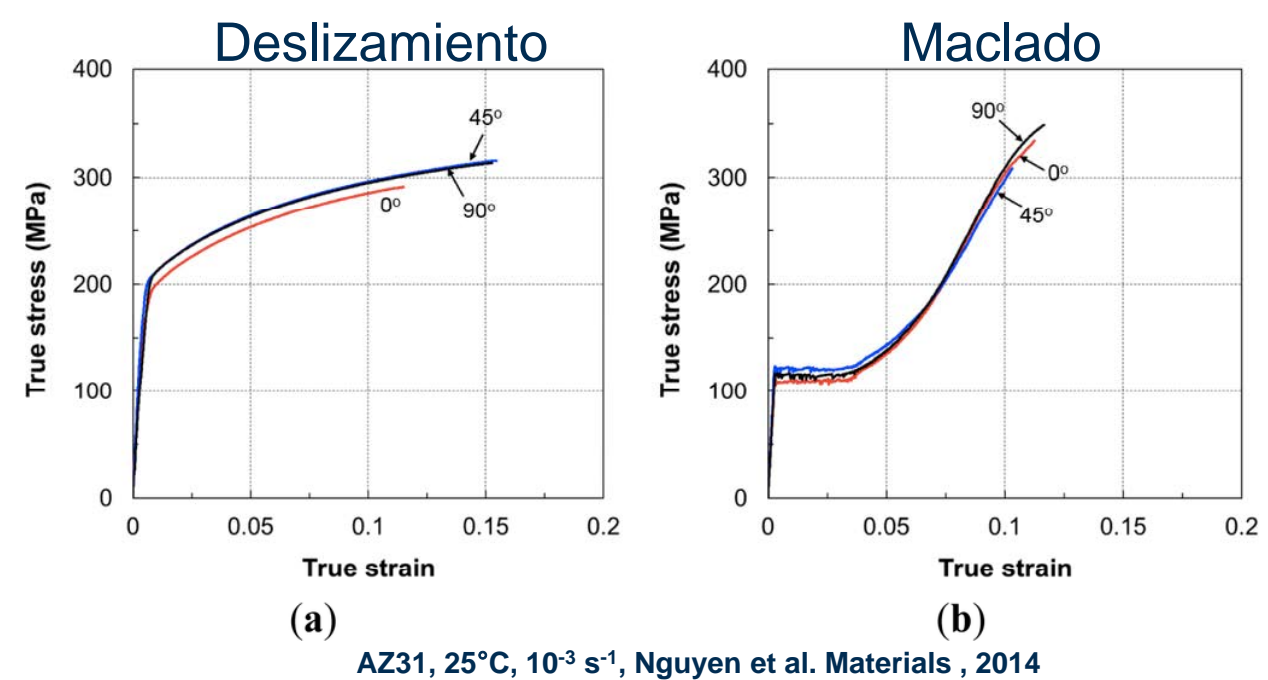




Sistemas de deslizamiento y maclado en magnesio

#### Deslizamiento vs. maclado





Advances in wrought magnesium alloys. Ed. by C. Bettles and M. Barnett. Cambridge: Woodhead publishing;2012.





#### **MONOCRISTALES**

#### Maclado:

Textura, baja T, alta velocidad de deformación

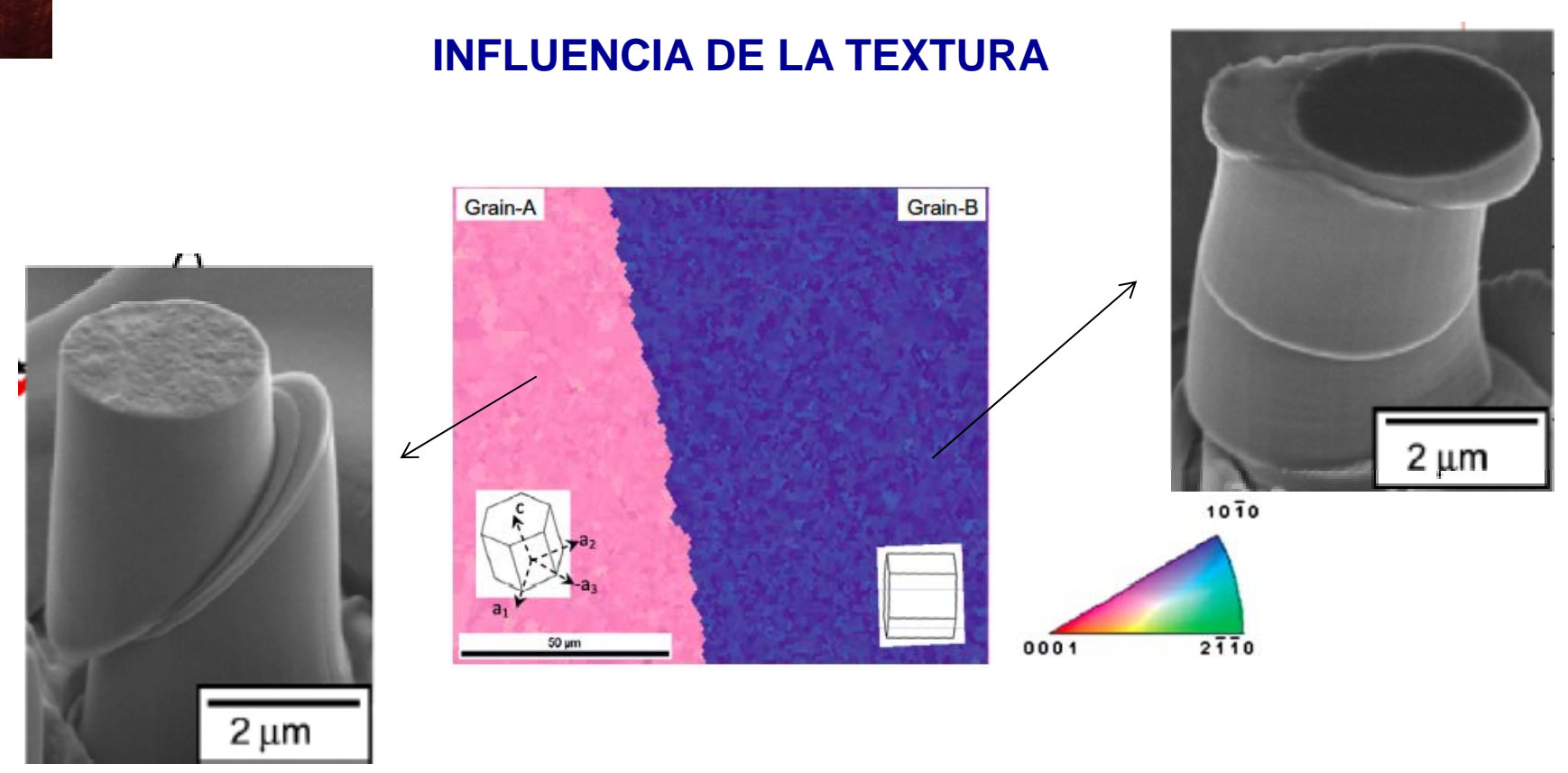
#### **Deslizamiento:**

Textura, alta T, baja velocidad de deformación



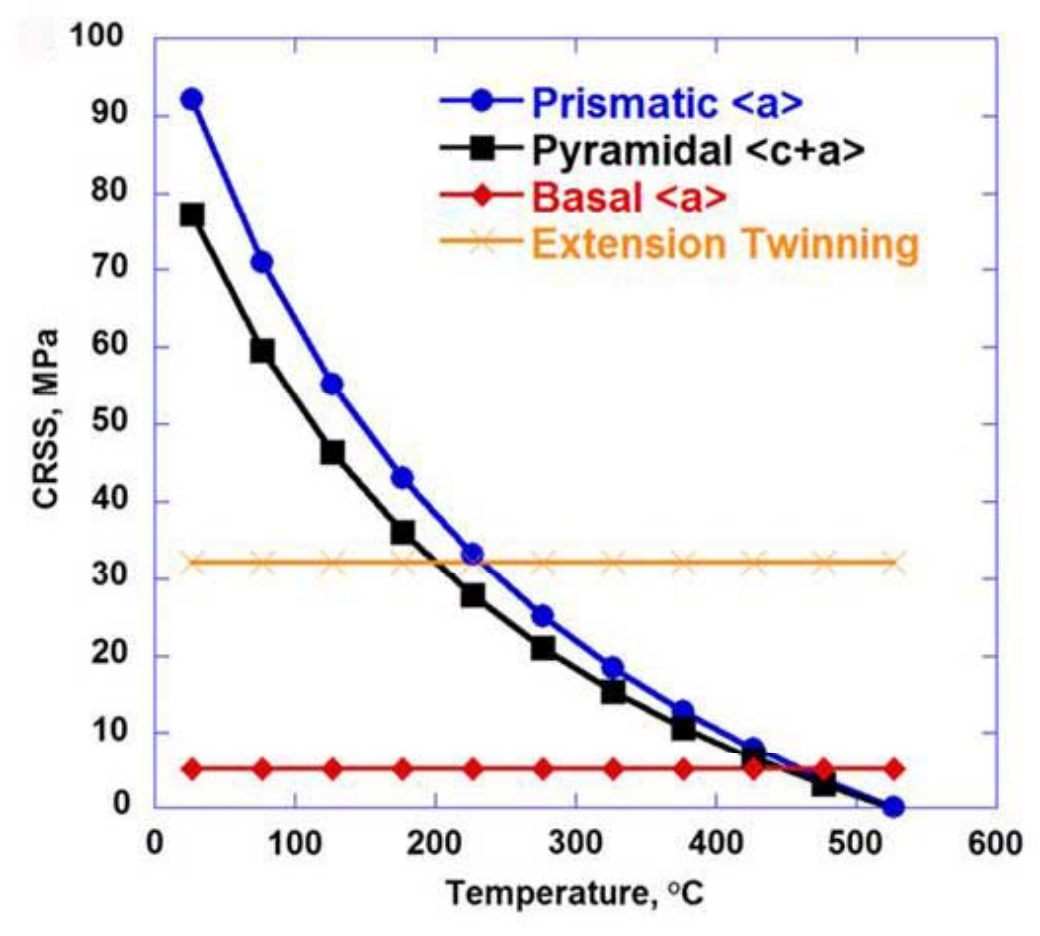


Mg monocristalino, 25°C, 10<sup>-3</sup> s<sup>-1</sup>





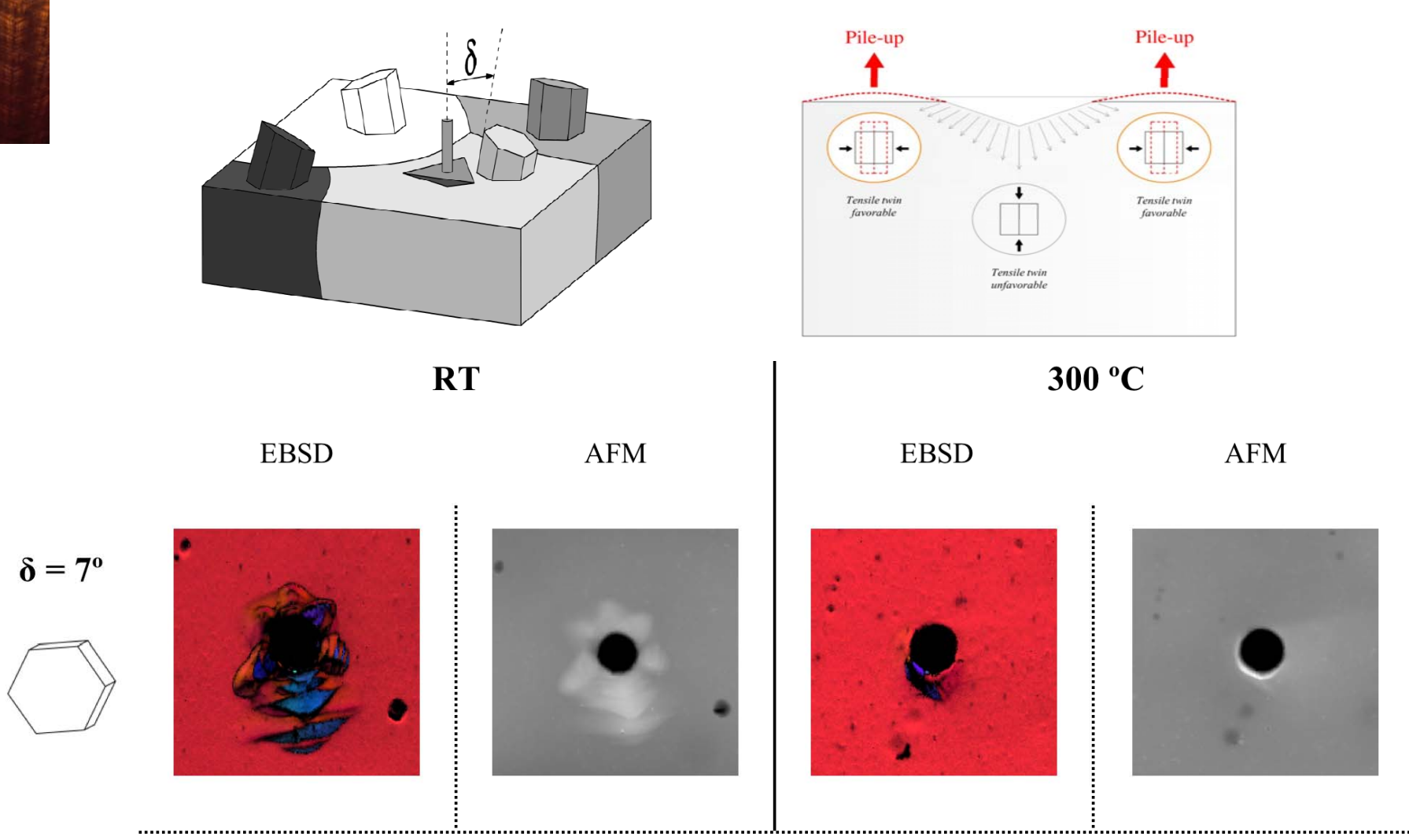
#### INFLUENCIA DE LA TEMPERATURA



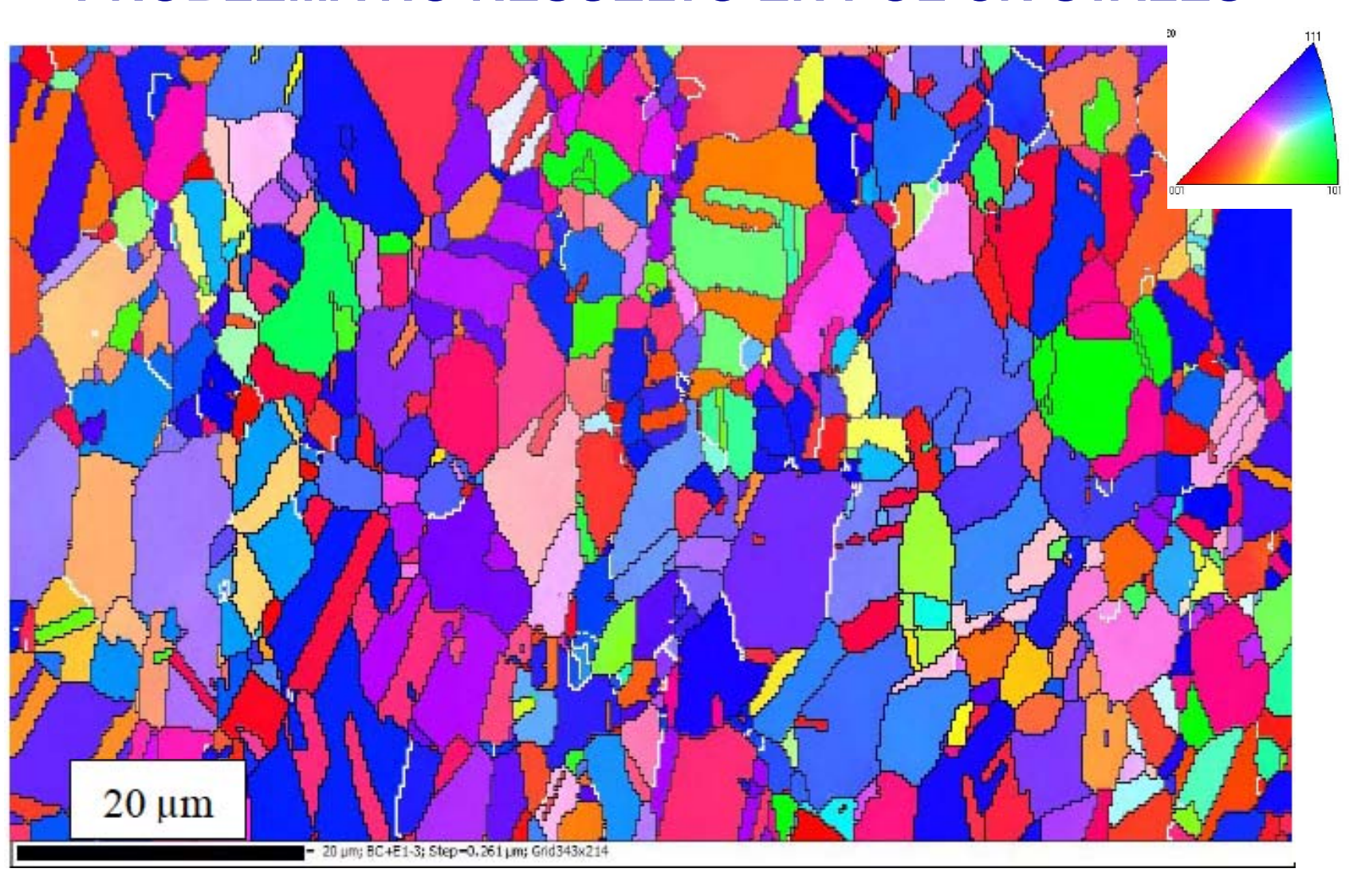
M.R. Barnett. Metall Mater Trans 34A (2003)1799



#### MG MONOCRISTALINO: INFLUENCIA DE LA TEMPERATURA

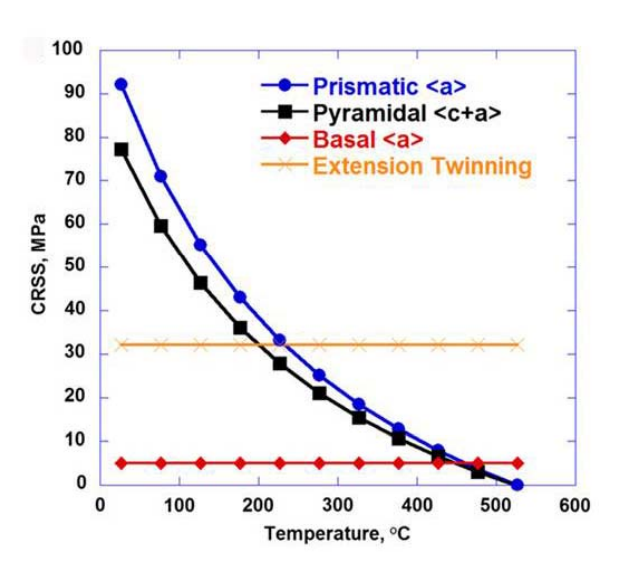


#### PROBLEMA NO RESUELTO EN POLICRISTALES

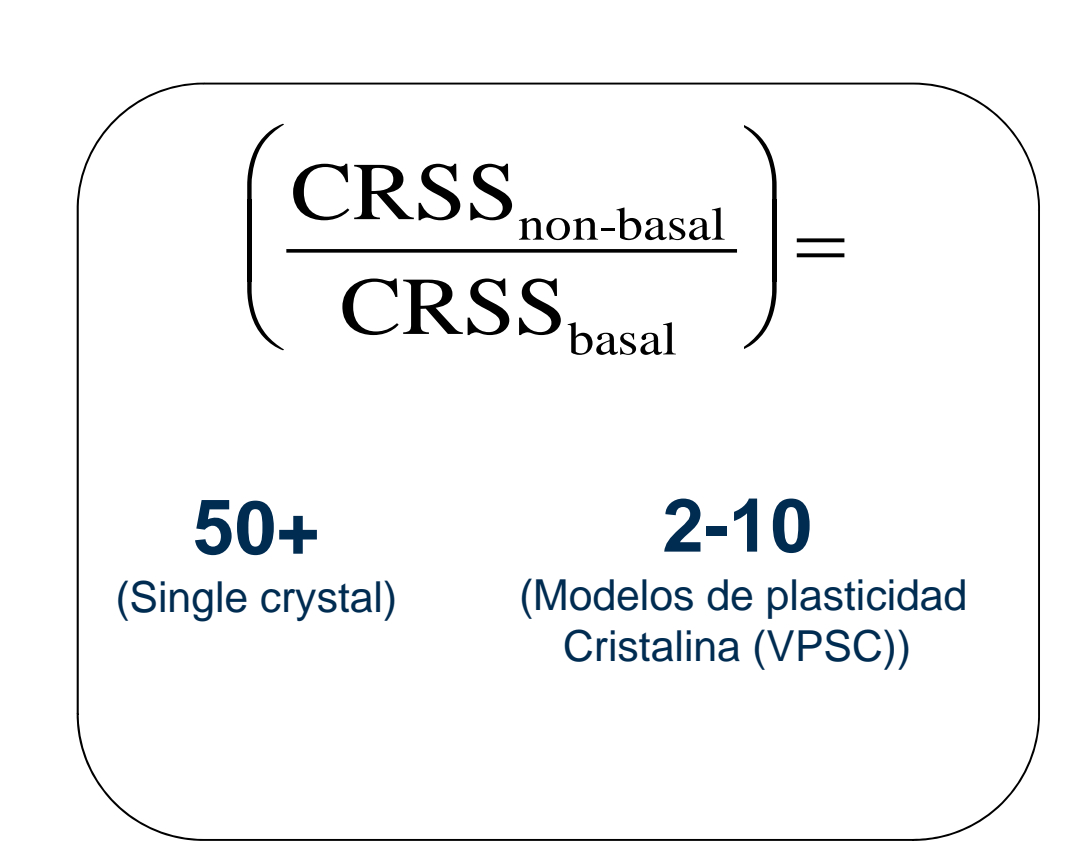




#### PROBLEMA NO RESUELTO EN POLICRISTALES



M.R. Barnett. Metall Mater Trans 34A (2003)1799





#### PROBLEMA NO RESUELTO EN POLICRISTALES

#### Dispersión en las constantes Hall-Petch

Materials	Processing condition	Loading path	Grain Size (µm)	$\sigma_o$ (MPa)	$k_{\sigma}$ (MPa mm <sup>1/2</sup> )
AZ31	Rolling	Tension (in-plane)	16-40	60	10.5
AZ31	Rolling	Tension //RD	5–25	45	10.1
AZ31	Single rolling	Tension //RD	5–17	89	7.3
AZ31	Rolling	Tension //RD	5–21	131	7.9
AZ31	Rolling	Tension //RD	2-55	122	6.6
AZ31	Rolling	Tension //RD	13-140	88	8.9
AZ31	Rolling	Tension //TD	13-140	115	8.6
AZ31	Extrusion and drawing	Tension //ED	3.5-12	120	5.0
AZ31	Extrusion	Tension //ED	2.5-8	80	9.6
AZ31	Extrusion	Compression //ED	3–11	22	12.3
AZ31	FSP	Tension //AD	2.6-6.1	10	5.1
AZ31	ECAP	Tension //ED	5-32	30	5.4
AZ31	ECAP	Tension //ED	6–22	50	10.8
AZ31	ECAP	Tension //ED	9–22	10	10.3
AZ31	ECAP	Tension //ED	2–8	30	5.7



#### PROBLEMA NO RESUELTO EN POLICRISTALES

Controvertido efecto del tamaño de grano en el maclado

#### La actividad del maclado decrece con el tamaño de grano

Barnett MR, Keshavarz Z, Beer AG, Atwell D. Acta Mater 2004; 52:5093 (AZ31, extruded, 3-23  $\mu$ m). Dobron P, Chmelik F, Yi S, Parfenenko K, Letzig D, Bohlen J. Scripta mater 2011;65:424. (AZ31, hydrostatic extrusion, 1-10  $\mu$ m) Jain A, Duygulu O, Brown DW, Tomé CN, Agnew SR. Mater Sci Eng A 2008;486-545. (AZ31, rolled, 13-140  $\mu$ m). Li J, Xu W, Wu X, Ding H, Xia K. Mater Sci Eng A 2011;528:5993. (Pure Mg, ECAP, 0.8-980  $\mu$ m). d= 2.7  $\mu$ m Choi HJ, Kim Y, Shin JH, Bae DH. Mater. Sci. Eng. A 2010;527:1565. (60 nm-120  $\mu$ m, hot extrusion of BM powders). d= 1  $\mu$ m

#### La fracción de volumen de maclado es independiente del tamaño de grano

Ghaderi A, Barnett MR. Acta mater 2011;59:7824. (AZ31, extruded, 5-55 micras).

Muránsky O, Barnett MR, Carr DG, Vogel SC, Oliver EC. Acta mater 2010; 58:1503. (ZM20, extruded, 17-114 micras)

#### La probabilidad de encontrar una macla en un grano no depende del tamaño de grano

Beyerlein IJ, Capolungo L, Marshall PE, McCabe RJ, Tomé CN. Phil Mag 2010;90:2161-2190. (Pure Mg, hot rolled, 4-80 micras)

#### Se ha observado maclado en Mg-10at.%Ti procesado por molienda mecánica con d=33 nm!!

X.L. Wu, K.M. Youssef, C.C. Kock, S.N. Mathaudu, L.J. Kekskés, Y.T. Zhu, Scripta Mater. 64 (2011) 213

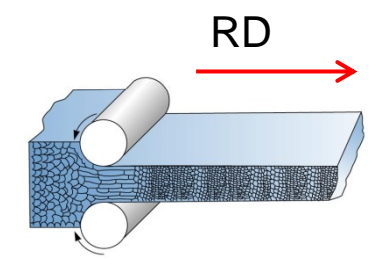
## OBJETIVO

Entender la transición entre maclado y deslizamiento cristalográfico en magnesio policristalino

#### PROCEDIMIENTO EXPERIMENTAL

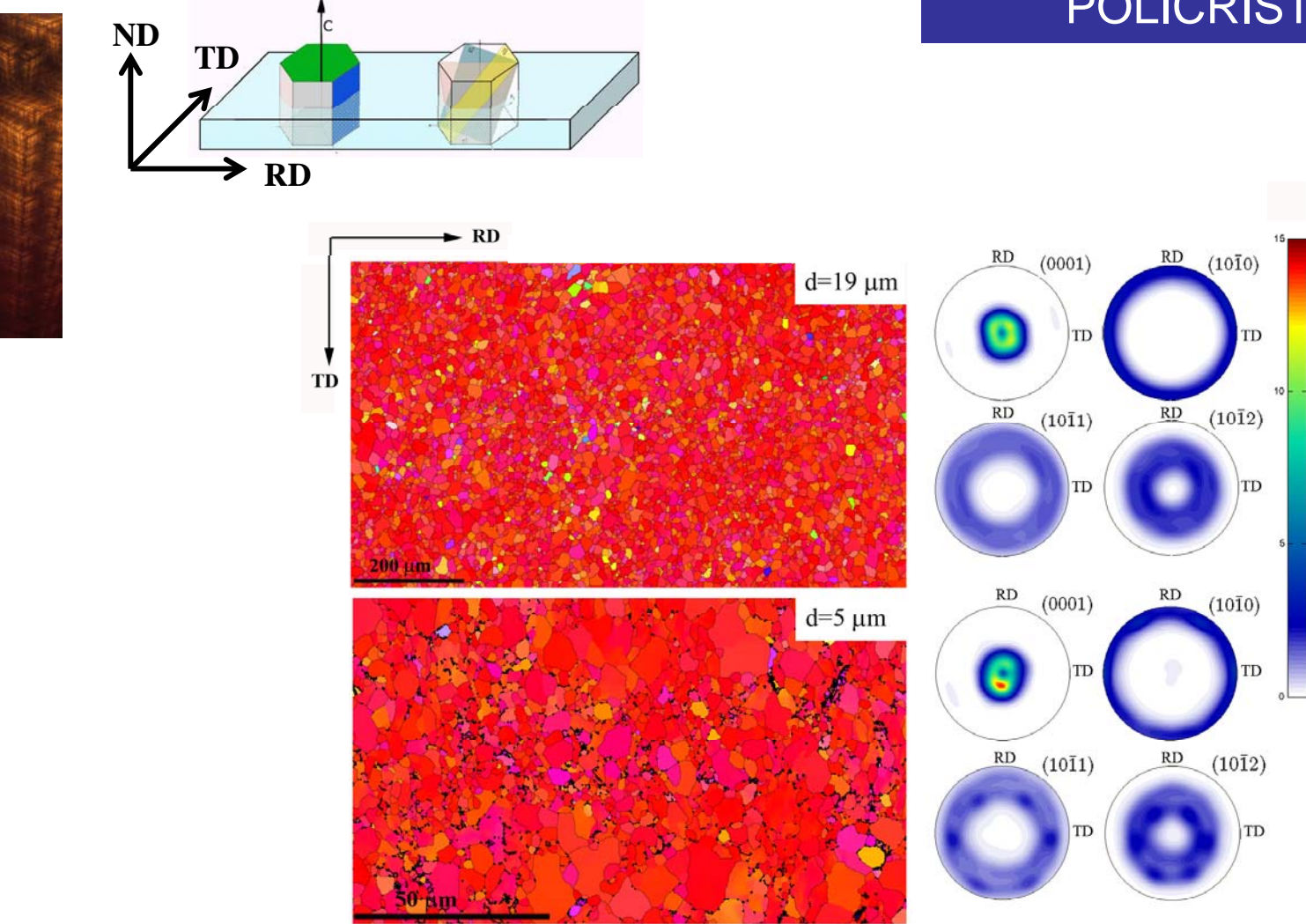
Material de partida: Mg puro (Helmholtz-Zentrum Geesthacht)

#### **Procesado:**



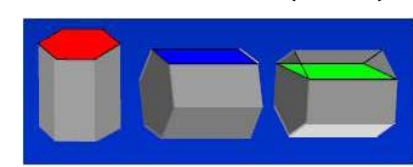
- Laminación en caliente: 200°C (3 passes, 50% reduction)
- Tratamiento térmico:
- 1.  $300^{\circ}$ C for 5 min (d=19  $\mu$ m)
- 2.  $150^{\circ}$ C for 10 min (d=5  $\mu$ m)

## POLICRISTALES DE MG

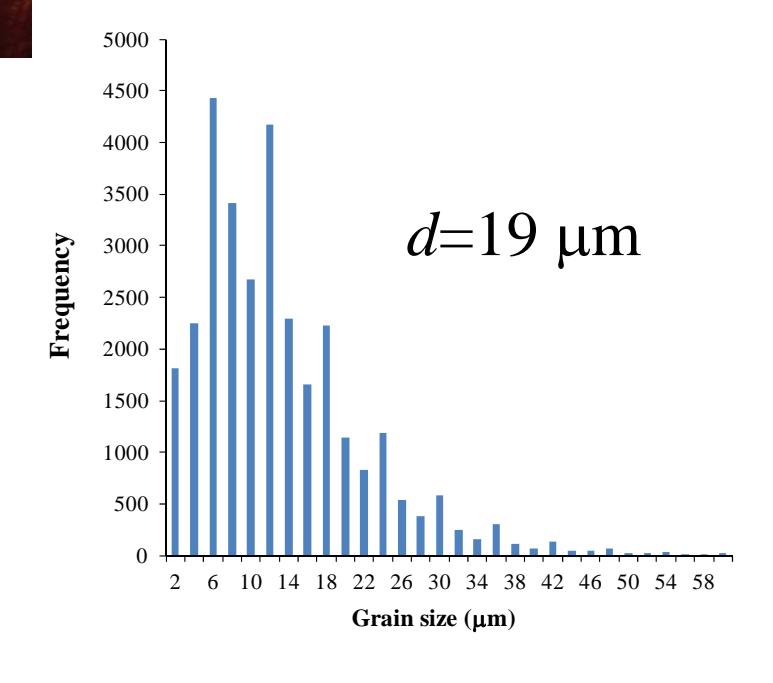


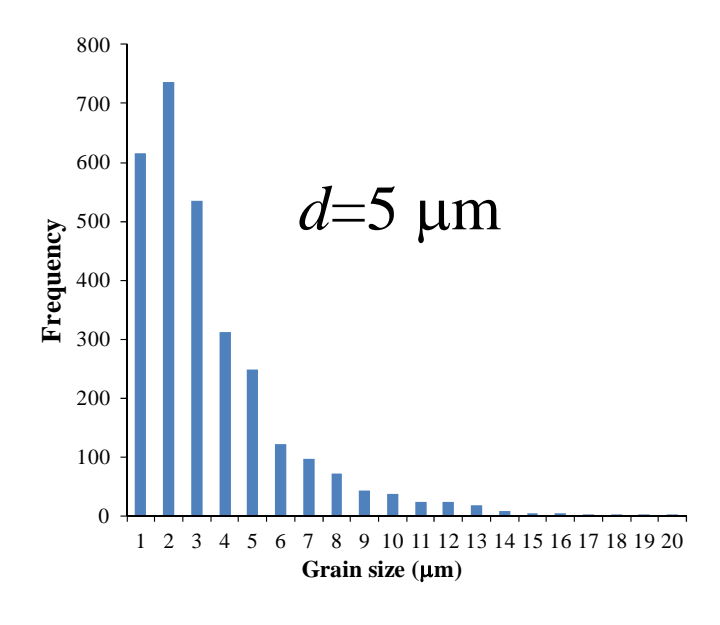
 $(0001)(10\overline{1}0)(2\overline{1}\overline{1}0)$ 

EBSD color code

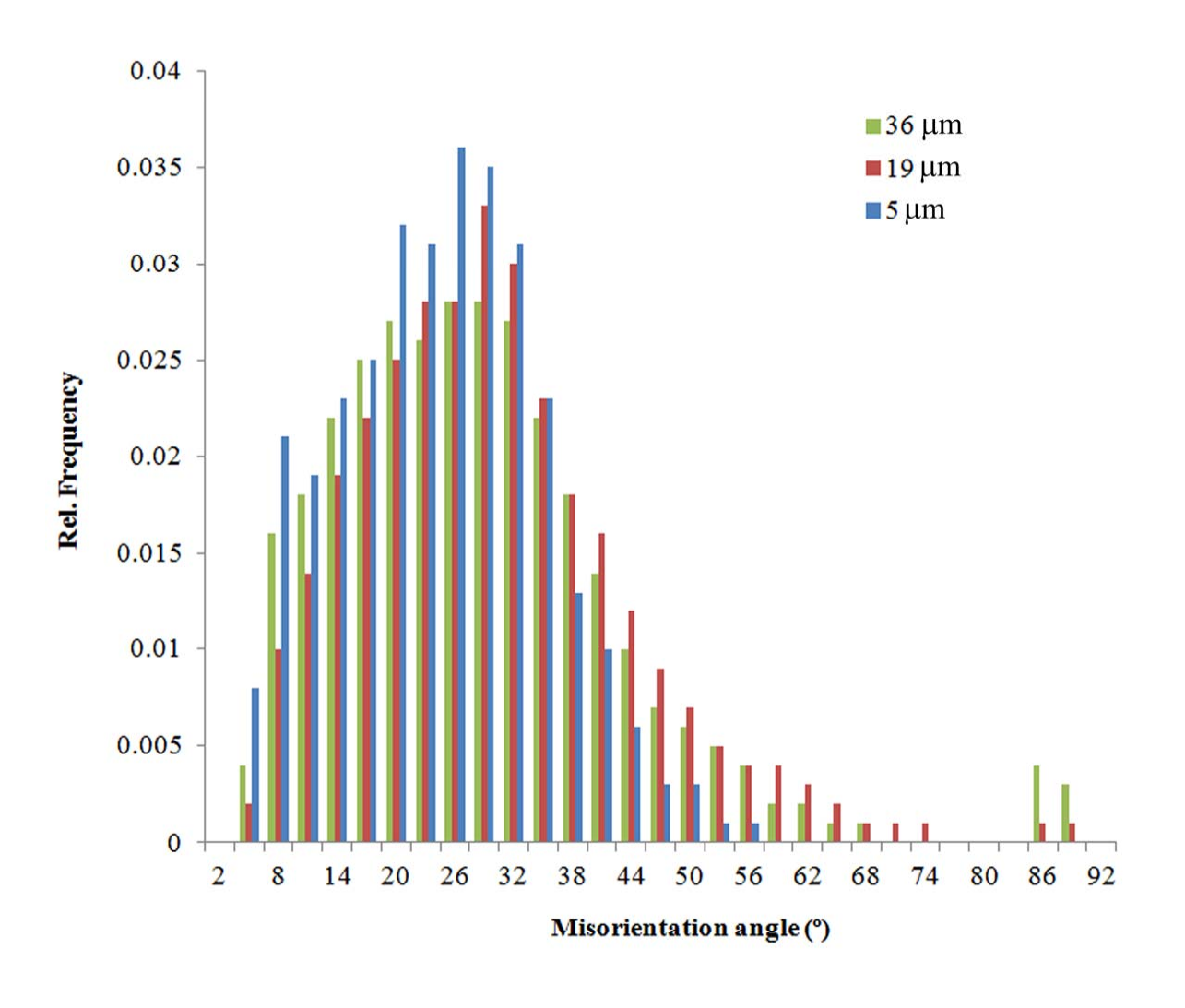


## POLICRISTALES DE MG



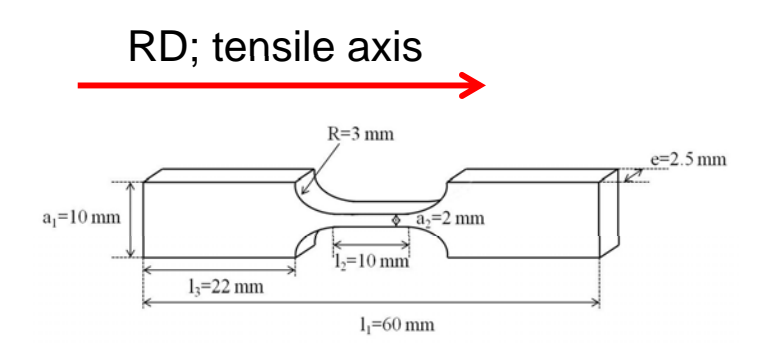


## POLICRISTALES DE MG

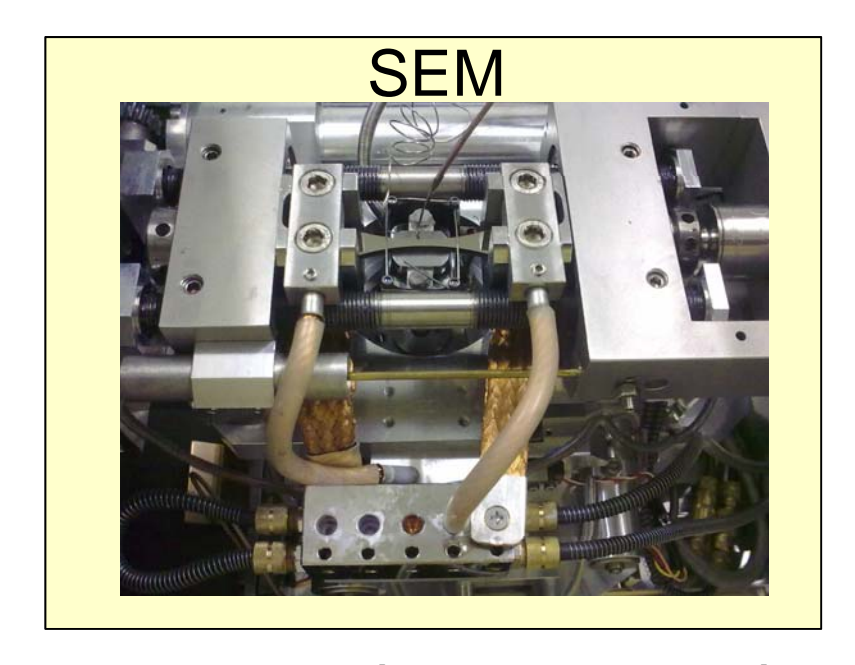


Cepeda-Jiménez et al. Acta Mater 2015

#### PROCEDIMIENTO EXPERIMENTAL



Compresión: RT, 150 and 250°C 10<sup>-3</sup> y 10<sup>-5</sup> s<sup>-1</sup>

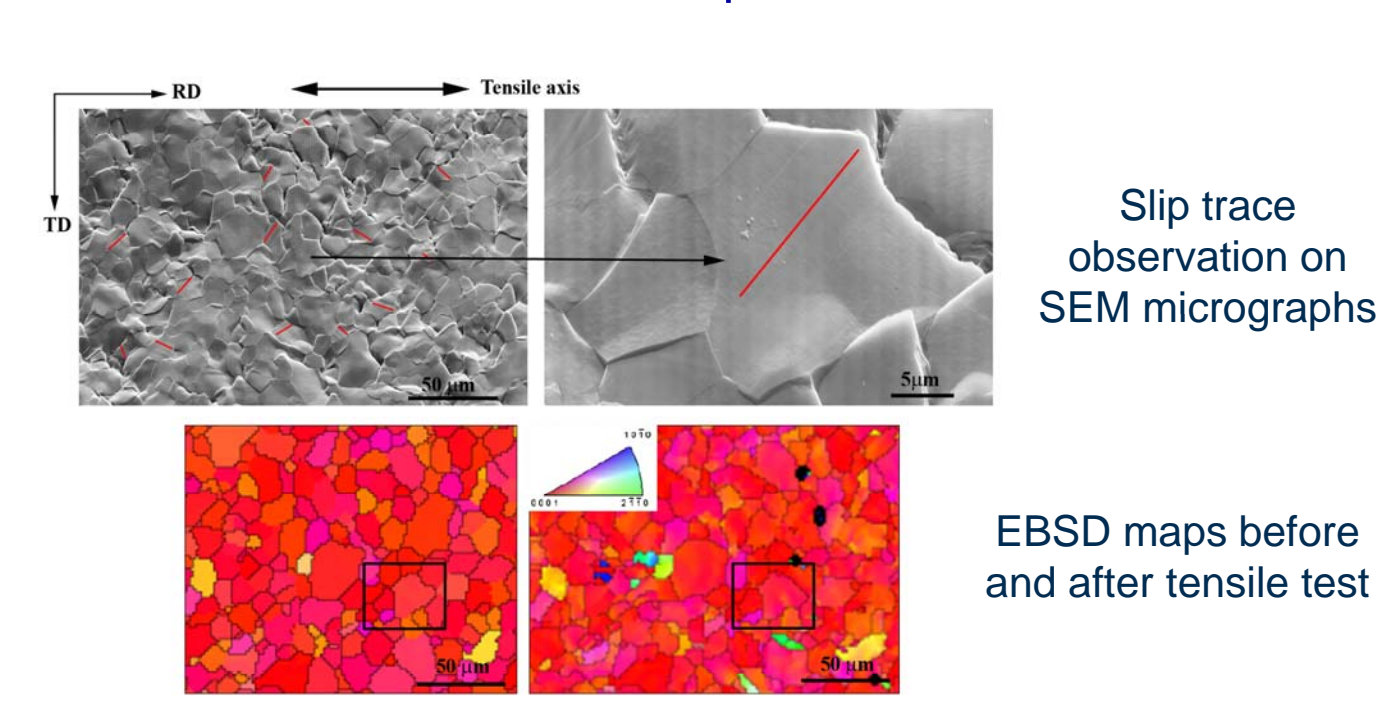


La baja presión evita la oxidación de la superficie pulida



#### PROCEDIMIENTO EXPERIMENTAL

#### Análisis de trazas asistido por EBSD



Schmid Slip system Factor (0001)[-2110] 0.1171 0.3169 (0001)[-1-120] 0.19980.1301 0.4308 (11-22)[-1-123] 0.1911 (-12-12)[1-213]0.4764 (-2112)[2-1-13] 0.0533 (-1 -1 2 2) [11 -23]0.0120 (1-212)[-12-13] 0.192312 (2-1-12)[-2113]

0.5

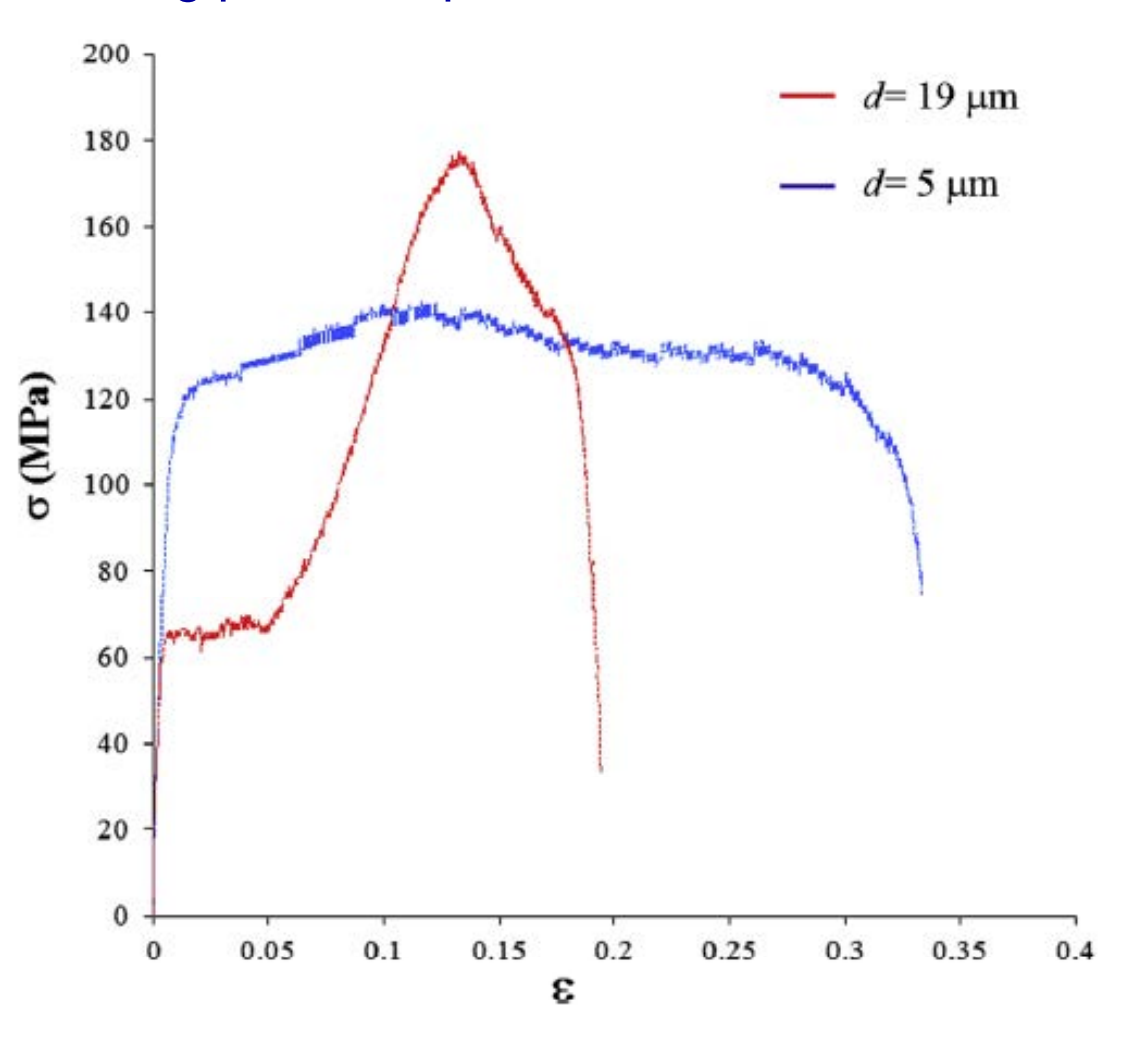
Orientation data input into a MATLAB code and slip system selection

Basal slip- Active deformation mechanism



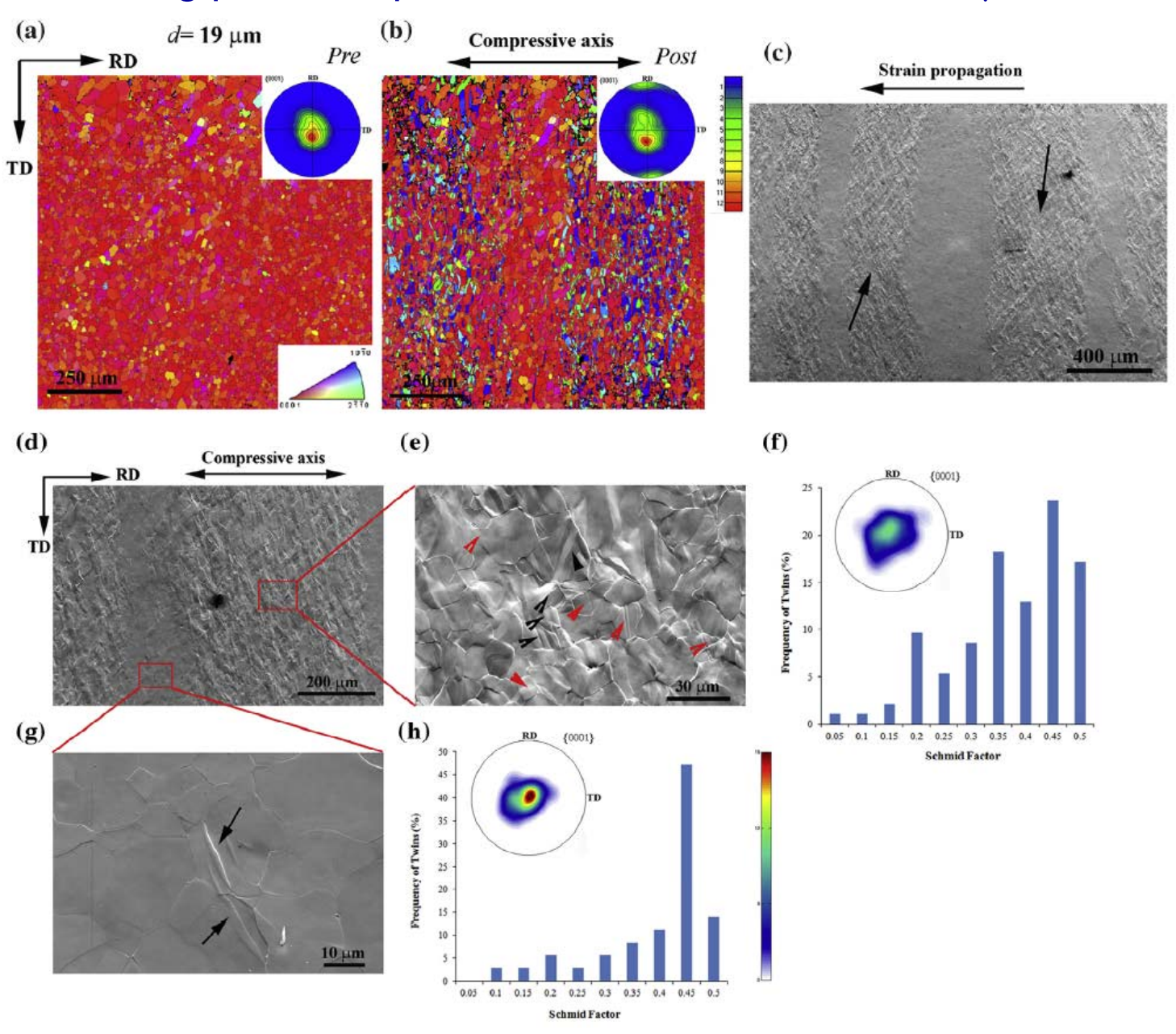
Grain size	T (°C)	Strain rate (s <sup>-1</sup> )	Number of slip traces
d=19 μm	50 50 50 150 250	10 <sup>-3</sup> 10 <sup>-4</sup> 10 <sup>-5</sup> 10 <sup>-3</sup>	158 119 154 76
d=5 μm	50	10 <sup>-3</sup>	139

#### Mg puro, temperatura ambiente, 10<sup>-3</sup> s<sup>-1</sup>

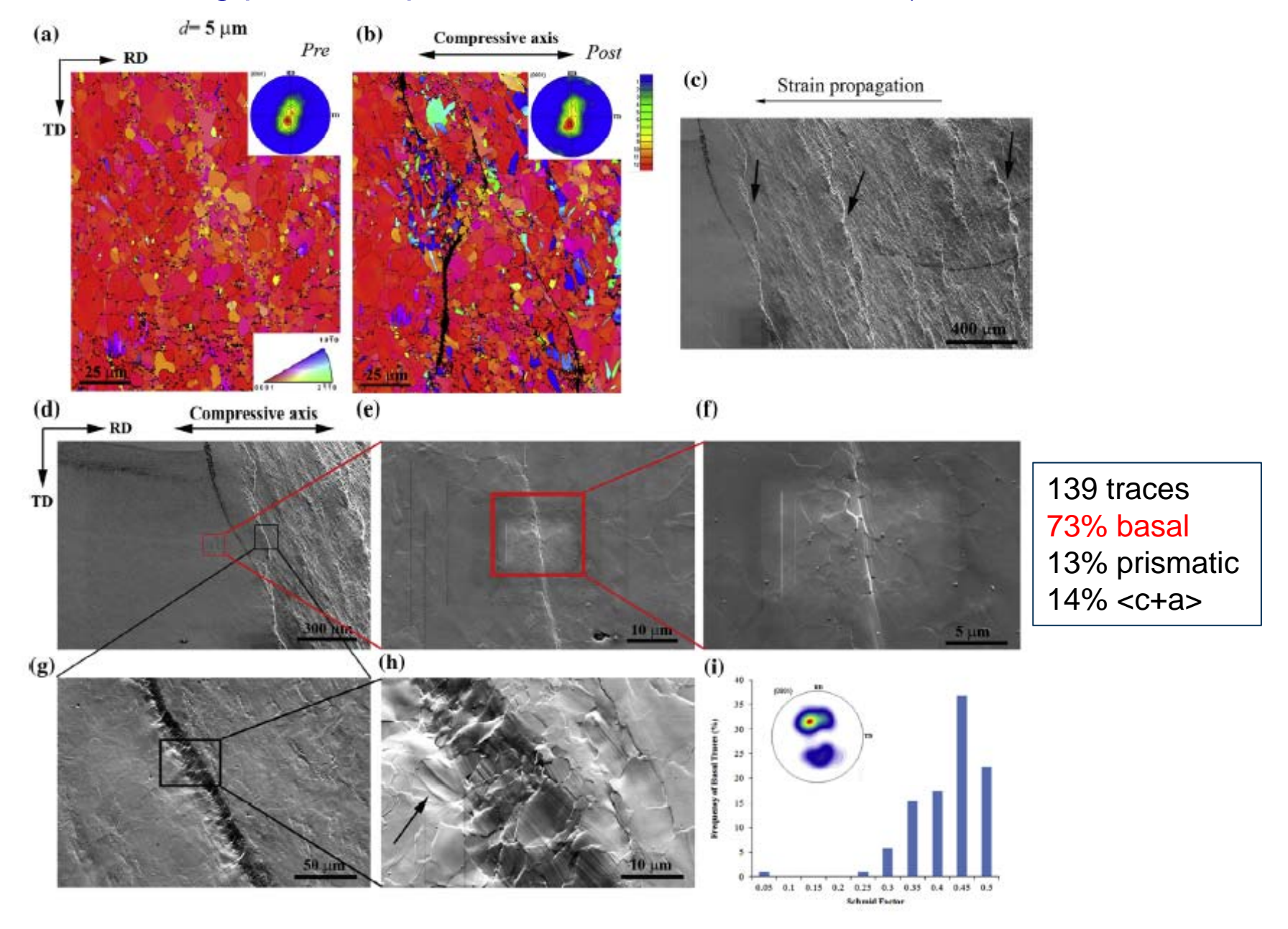


Cepeda-Jiménez et al. Acta Mater 2015

#### Mg puro, temperatura ambiente, 10<sup>-3</sup> s<sup>-1</sup>, 19 μm

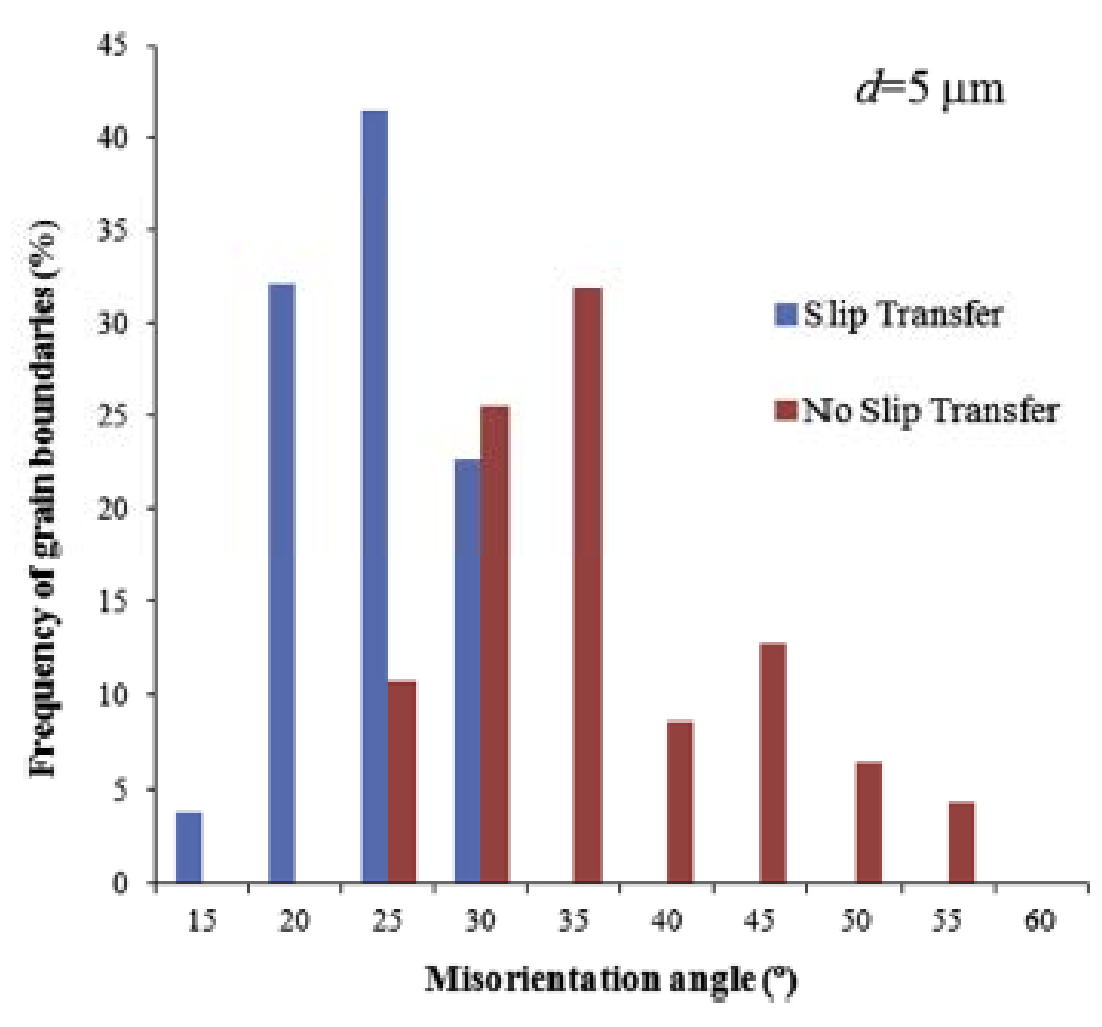


#### Mg puro, temperatura ambiente, 10-3 s-1, 5 μm



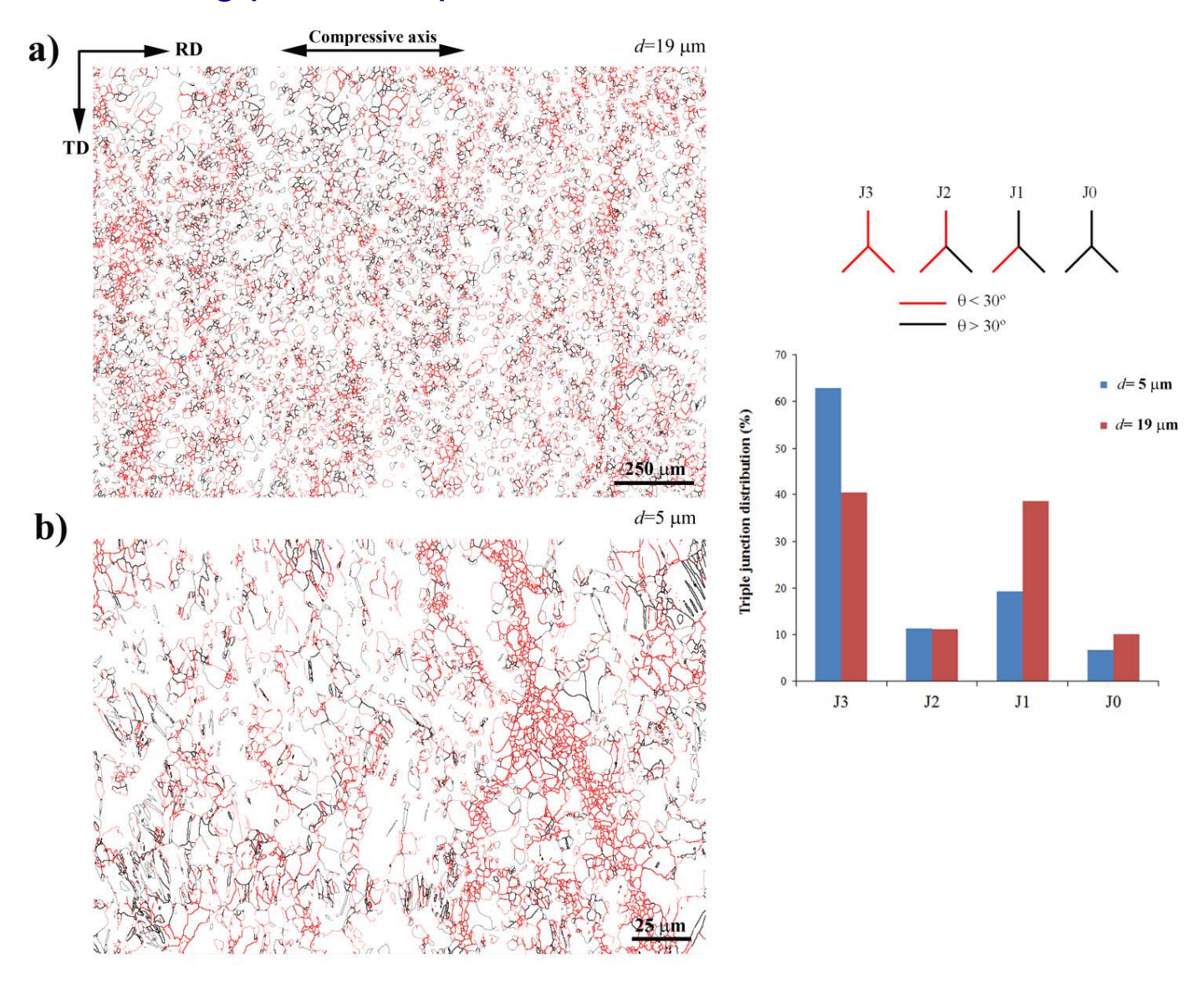
#### Mg puro, temperatura ambiente, $10^{-3}$ s<sup>-1</sup>, 5 $\mu m$

$$\theta_{th}$$
=30°

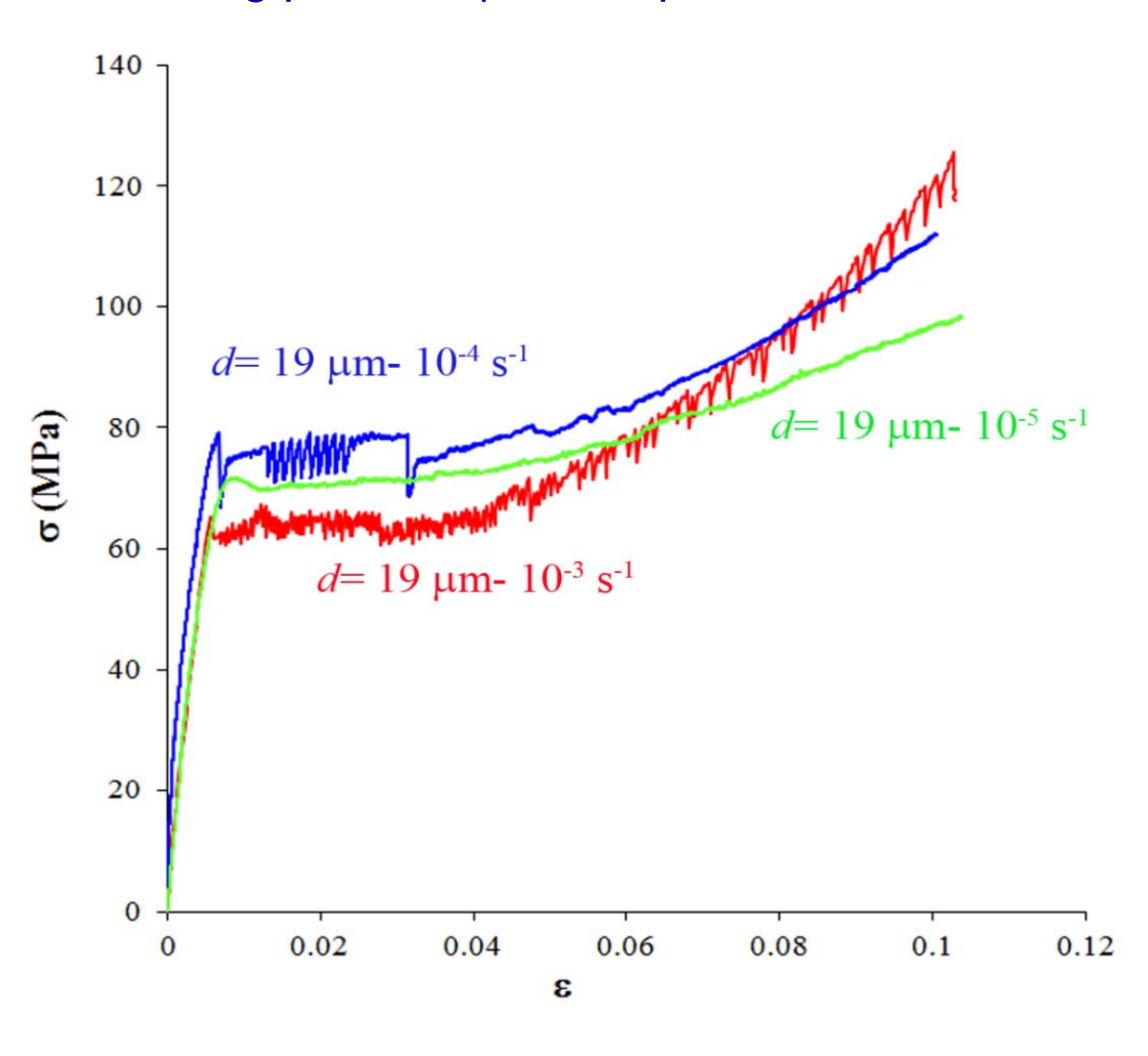


Cepeda-Jimenez et al. Acta Mater 2015

### Mg puro, temperatura ambiente, 10<sup>-3</sup> s<sup>-1</sup>



#### Mg puro, 19 µm, temperatura ambiente

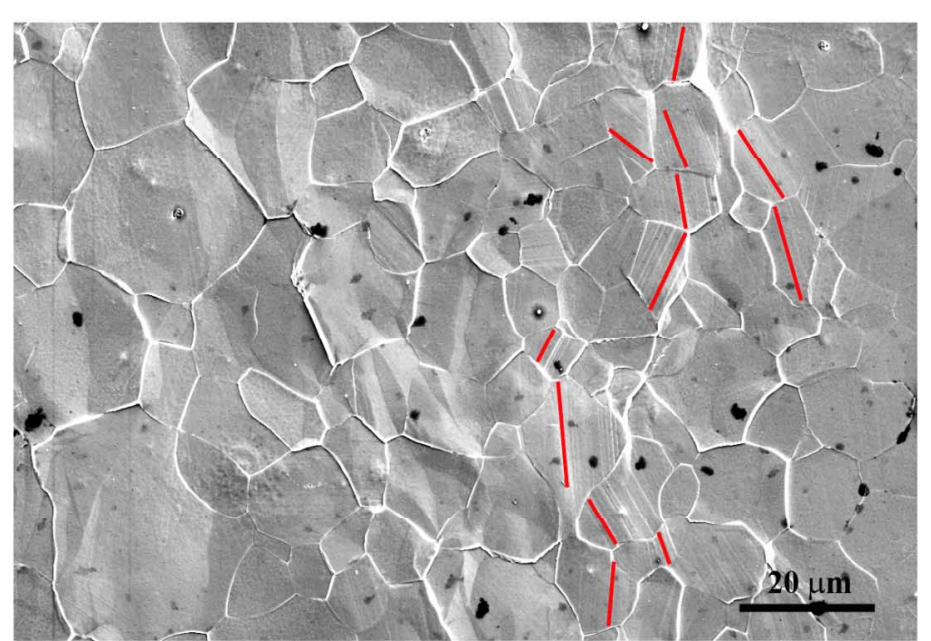


Cepeda-Jiménez et al. Acta Mater 2015

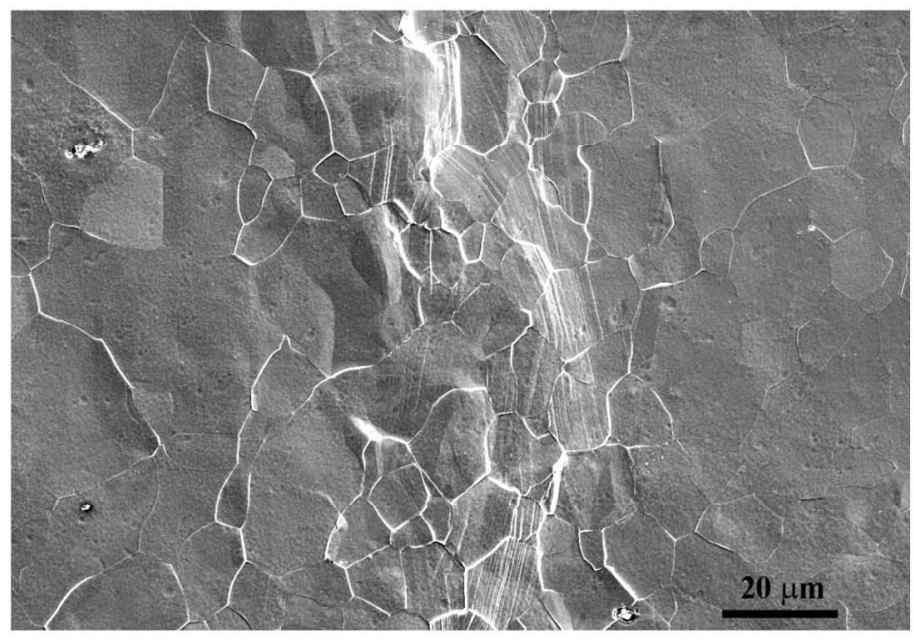


#### Mg puro, 19 $\mu$ m, temperatura ambiente

a) 
$$d=19 \mu m-10^{-4} s^{-1}$$



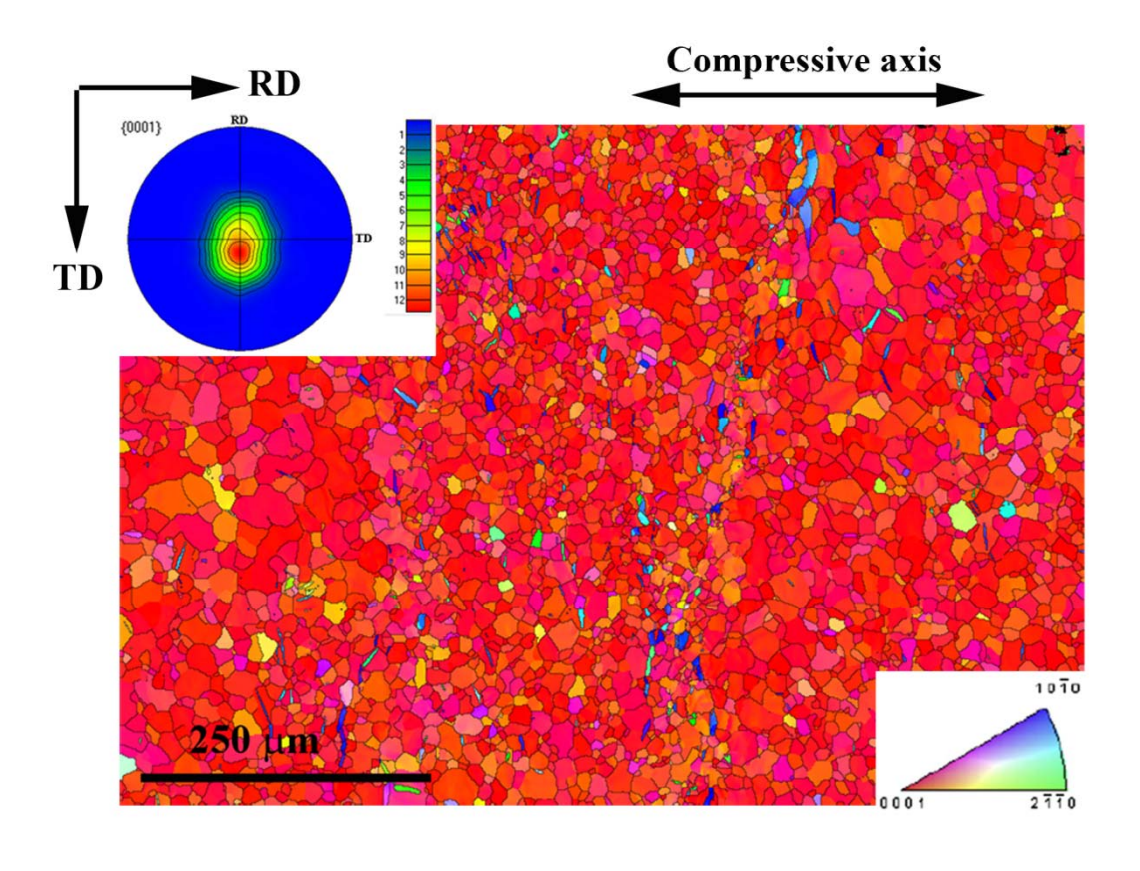
**b)** 
$$d=19 \mu m-10^{-5} s^{-1}$$



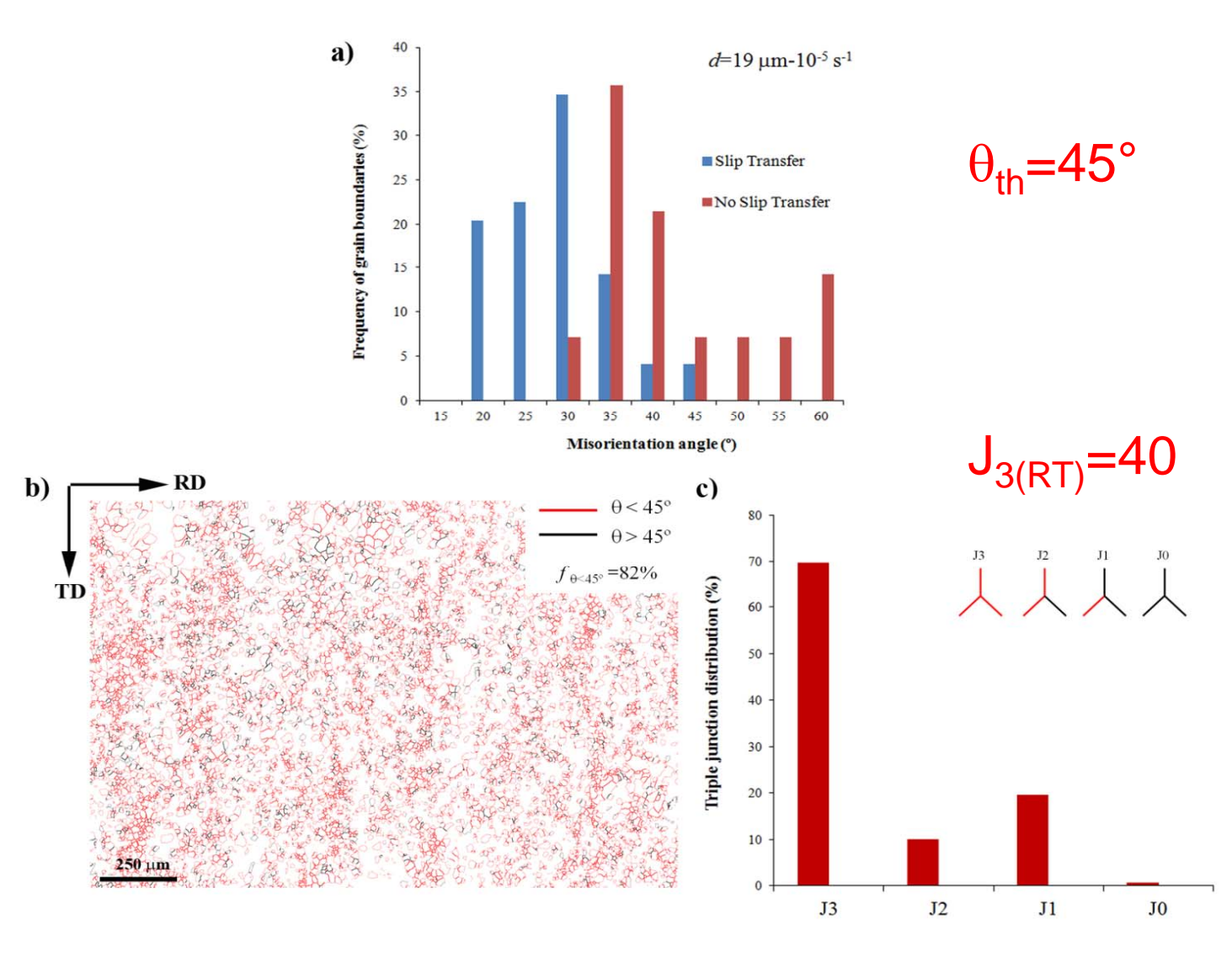
119 traces
91% basal
6% prismatic
3% <c+a>





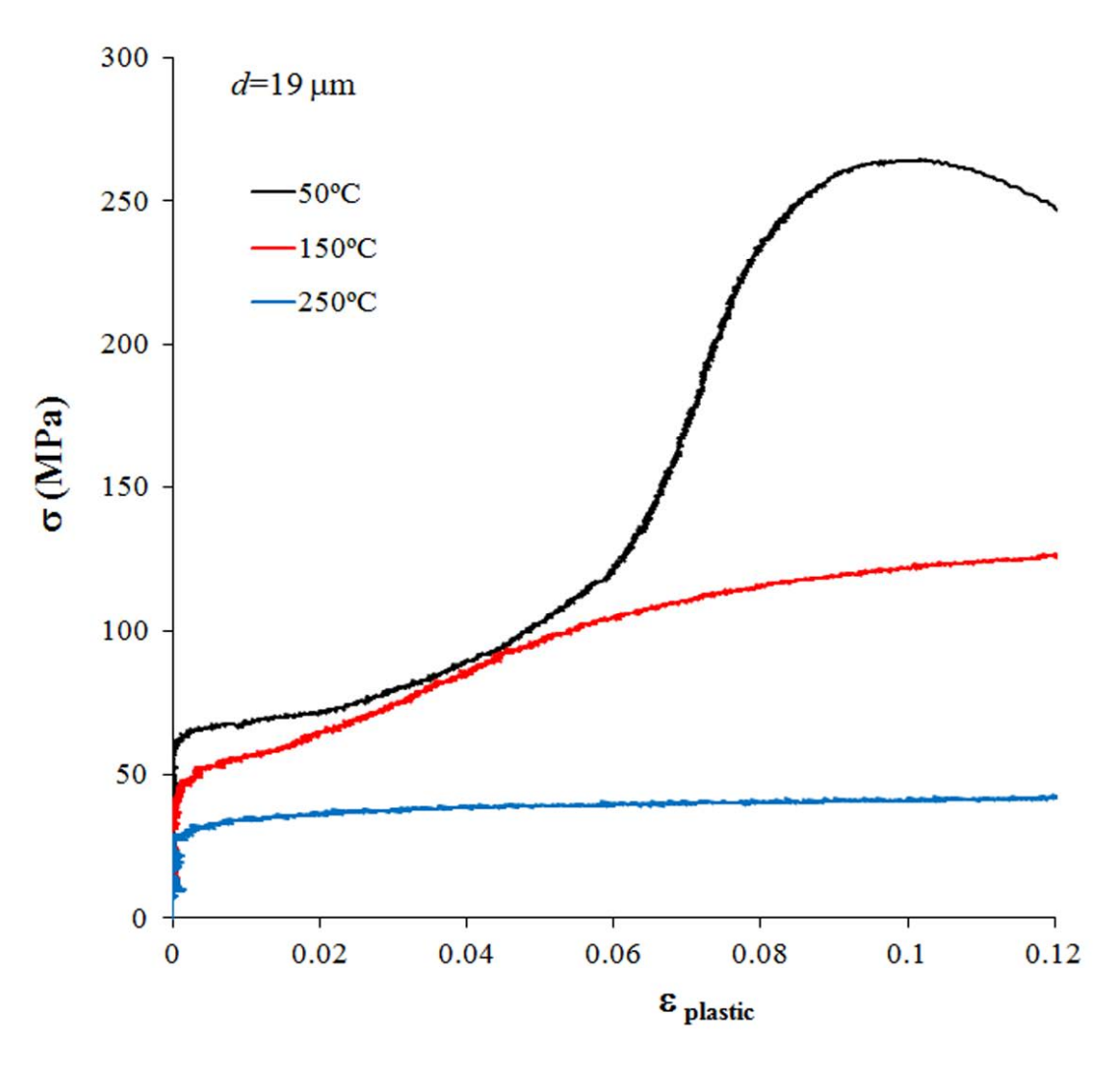


#### Mg puro, 19 $\mu$ m, temperatura ambiente, 10<sup>-5</sup> s<sup>-1</sup>



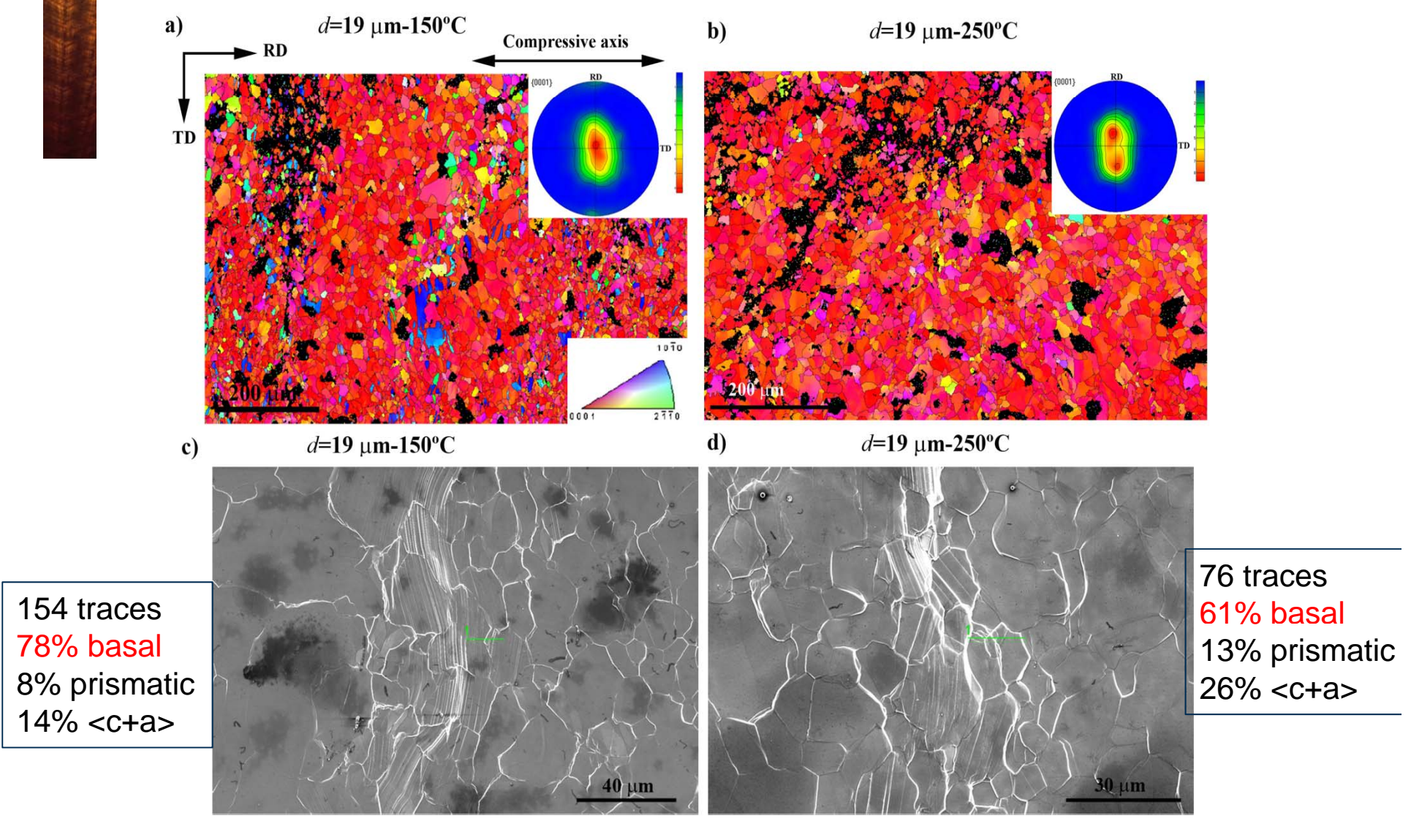
Cepeda-Jiménez et al. Acta Mater 2015

#### Mg puro, 19 $\mu$ m, 10<sup>-3</sup> s<sup>-1</sup>



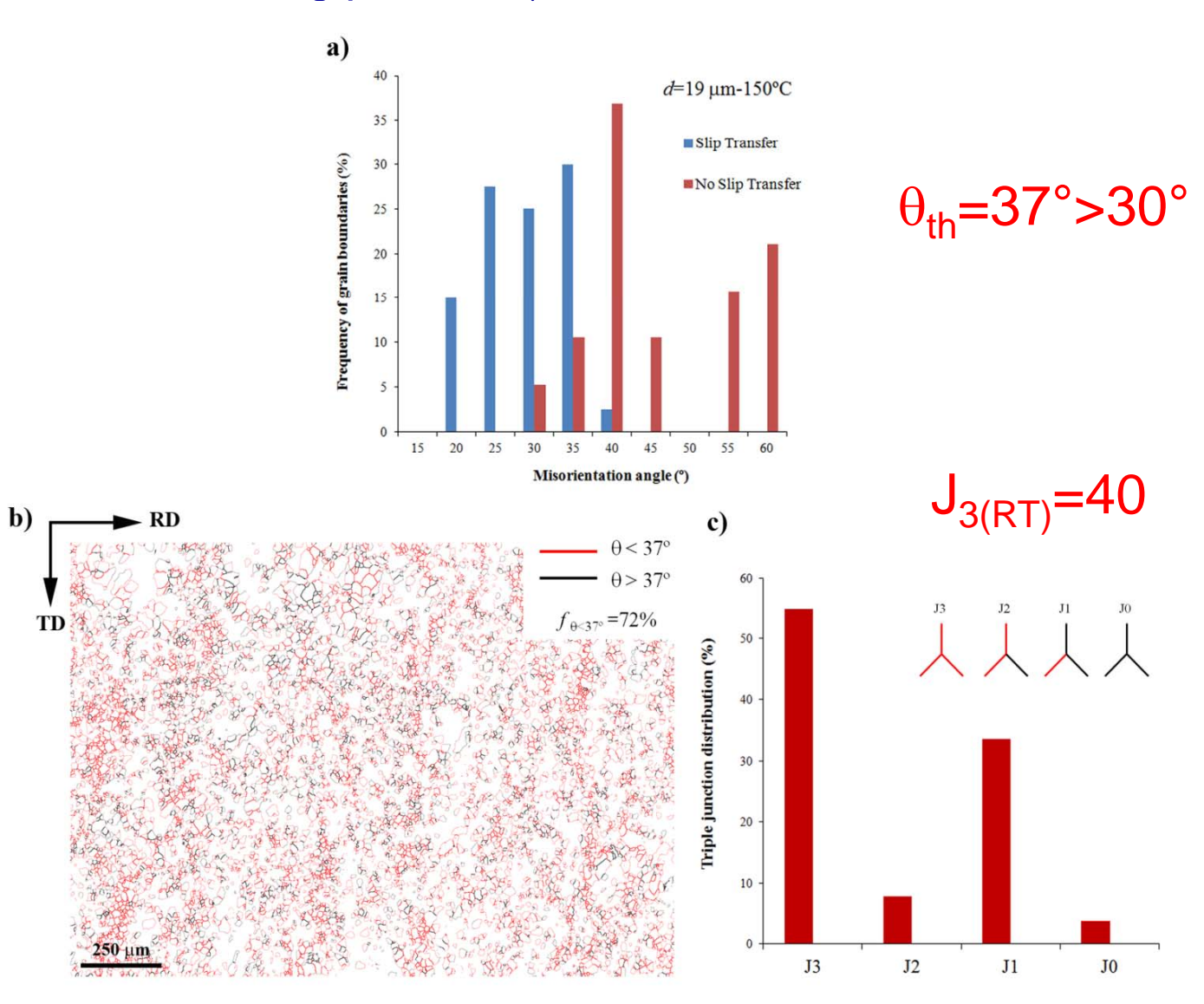
Cepeda-Jiménez et al. Acta Mater 2015

#### Mg puro, 19 $\mu$ m, 10<sup>-3</sup> s<sup>-1</sup>



Cepeda-Jiménez et al. Acta Mater 2015

#### Mg puro, 19 $\mu$ m, 150°C, 10<sup>-3</sup> s<sup>-1</sup>



Cepeda-Jiménez et al. Acta Mater 2015

#### Mg puro, 19 μm

#### Desorientación crítica para la transferencia del basal

Mg puro	RT	150°C
10 <sup>-3</sup> s <sup>-1</sup>	30°	37°
10 <sup>-5</sup> s <sup>-1</sup>	45°	

- Cuando decrece el tamaño de grano, aumenta la temperatura o disminuye la velocidad de deformación, se produce una transición de maclado a DESLIZAMIENTO BASAL.
- La transición está relacionada con una mejora de la conectividad entre granos bien orientados para el deslizamiento basal.
- La topología de la red de fronteras de grano, así como la naturaleza de dichas fronteras y la distribución espacial de las orientaciones juegan un papel decisivo en la selección de los mecanismos de deformación dominantes en policristales de Mg puro.

ACKNOWLEDGMENTS: EXOMET project, 7th FP, EU Comission